

Not-Bre

A-918

1966

Броматы La, Ce, Pr, Nd, Sm, Eu,
Gd, Dy, Ho, Er, Tm, Tb, Lu, Yb, Y
(ΔH_f , $\Delta H_{sol.}$)

Staveley L.A.K., Markham D.R.,
Jones M.R.,

Nature, 1966, 211, N 5054, 1172-1173

И, Иу, В

лсгб φ.к.

1967

 Nd_3O_4Br

У7 Б401. Получение и кристаллографические данные для нового оксибромида неодима. Schultz Neithart, Reiter G. Darstellung und Kristalldaten eines neuen Neodymoxidbromids. «Naturwissenschaften», 1967, 54, № 17, 469—470. (нем.)

Проведено рентгенографич. исследование Nd_3O_4Br (**I**) (метод порошка, $\lambda Cu-K\alpha$). **I** получен 2 способами: при нагревании стехиометрич. смеси $NdOBr$ (**II**) и Nd_2O_3 при 1100° в атм. O_2 и при термич. отжиге **II** при т-ре 850° в атм. сухого воздуха. Показано, что **I** изоструктурен с оксибромидами La и других РЗЭ. Параметры ромбич. решетки **I**: $a \approx 12,223$, $b \approx 12,079$, $c \approx 4,179$ Å, $Z=4$, ρ (выч.) 6,21, ф. гр. $Bbmm$ или $Bb2_1m$.

Л. Н. Демьянец

Х. 1968. 7

$Y(B_2O_3)_3 \cdot 9H_2O$; $La(B_2O_3)_3 \cdot 9H_2O$. 8 1968

$Ce(B_2O_3)_3 \cdot 9H_2O$; $Pr(B_2O_3)_3 \cdot 9H_2O$; $Nd(B_2O_3)_3 \cdot 9H_2O$;

$Sm(B_2O_3)_3 \cdot 9H_2O$; $Eu(B_2O_3)_3 \cdot 9H_2O$; $Gd(B_2O_3)_3 \cdot 9H_2O$;

$Tb(B_2O_3)_3 \cdot 9H_2O$; $Dy(B_2O_3)_3 \cdot 9H_2O$; $Ho(B_2O_3)_3 \cdot 9H_2O$;

$Er(B_2O_3)_3 \cdot 9H_2O$; in $(B_2O_3)_3 \cdot 9H_2O$ (T_m)

Petržák F., Dusík et al.

VIII-649

Collect. Czechoslov. Chem. Commun., 1968, 33, N^o 8, 2597-2604 (4 pp.)

Beiträge zur Chemie der seltenen Elemente III. Thermische

Zersetzung von Boronaten der Seltenen Erden.

MH-J. M., 1968

737

○

5 (9) 16

7 В12. Исследование инконгруэнтной сублимации некоторых оксборомидов трехвалентных лантанидов.
Work Dale E., Eick Harry A. An investigation of the incongruent sublimation of some lanthanide (III) oxobromides. «High Temp. Sci.», 1973, 5, № 5, 313—324
(англ.)

Эффузионными методами с применением масс-спектрометрич. анализа изучено термич. разложение тв. соединений типа LnOBr (I) ($\text{Ln}=\text{Nd}, \text{Tm}, \text{Yb}$). I получены нагреванием Ln_2O_3 (99,9%) в токе сухого He, насыщ. Br_2 (99,8%) в кварце при т-ре 800—1000° в течение 3—5 час. с послед. повторным нагреванием образовавшихся ярко-оранж. гидратов трибромидов ($\text{Ln}=\text{Tm}, \text{Yb}$) в токе He, насыщ. H_2O при т-ре 450° в течение 40 ($\text{Ln}=\text{Yb}$) или 45 мин. ($\text{Ln}=\text{Tm}$) и окончательным нагреванием комковатых осадков в вакуумированных кварцевых трубках при т-ре 700° в течение нескольких часов. Получен также $\text{Ln}_3\text{O}_4\text{Br}$ (II) ($\text{Ln}=\text{Nd}$) при нагревании эквимол. смеси Nd_2O_3 и NdOBr в вакуумированных кварцевых ампулах при т-ре 1000°. I ($\text{Ln}=\text{Nd}, \text{Tm}, \text{Yb}$) и II окрашены в светло-гол., кремовый, светло-кремовый и темно-гол. цвет соотв. Исходные и образующиеся при разложении продукты идентифицировали методами хим. и рентгенофазового анализа ($\lambda =$)

1973

Б40-5887-7/III

дн, 45

д. 1974

№ 7

$=0,154051$ нм, камера Гинье). Отмечено, что вычисленные значения параметров решетки I и II хорошо согласуются с лит. данными. Найдено, что термич. разложение I происходит в 2 стадии по ур-ниям: $4 \text{ I (тв.)} = \text{II (тв.)} + \text{LnBr}_3 \text{ (III) (газ.)}$ (1); $3 \text{ (II) (тв.)} = 4 \text{ Ln}_2\text{O}_3 \text{ (IV) (тв.)} + \text{III (газ.)}$. Определены параметры ромб. элементарной ячейки III ($\text{Ln}=\text{Tm}$): $a 1,1569 \pm 0,001$; $b 1,1486 \pm 0,001$; $c 0,4027 \pm 0,0002$ нм. В т-рном интервале $1683-1850^\circ \text{К}$ давл. пара III ($\text{Ln}=\text{Nd}$) может быть представлено ур-нием: $\ln P \text{ (атм)} = -(54,94 \pm 0,38) \cdot 10^3/T + (24,27 \pm 0,22)$. Значения энталпии и энтропии стадии (1) ($\text{Ln}=\text{Nd}$) равны $109,17 \pm 0,76$ ккал/моль и $48,22 \pm 0,43$ кал/моль $^\circ \text{К}$ (при т-ре 1766°К) и $115,3 \pm 3,6$ ккал/моль и $55,1 \pm 4,1$ кал/моль $^\circ \text{К}$ (при т-ре $298,15^\circ \text{К}$) соотв. Приведены значения нек-рых др. термодинамич. функций I—IV. Механизм термич. разложения I ($\text{Ln}=\text{Tm}$ и Yb) аналогичен, причем в т-рном интервале $1035-1150$ и $950-1050^\circ$ соотв. в тв. фазе отмечено сосуществование I, II и IV. Др. возможный вариант разложения I ($\text{Ln}=\text{Yb}$) может быть представ-лен р-циями: $4 \text{ I (тв.)} = \text{II (тв.)} + \text{IV (газ.)}$ и $\text{IV (газ.)} + \text{Br (газ.)} = \text{YbBr}_2 \text{ (газ.)} + \text{Br}_2 \text{ (газ.)}$, протекающими при 1000 и 1100° соответственно.

С. С. Плоткин

$\text{Nd}(\text{BrO}_3)_3$

Stern K.H. 1974.

(m.g.cb-6a)

Z. Phys. Chem. Ref.
Data, 1974, 3 (2),
481-526

(издание Узбека I.B.)

1975



$\cdot 9\text{H}_2\text{O}$

84: 67242h Vibration spectra, structure, and phase transition in neodymium and gadolinium bromate enneahydrates. Poulet, H.; Mathieu, J. P.; Vergnat, D.; Vergnat, B.; Hadni, A.; Gerbaux, X. (Dep. Rech. Phys., Univ. Pierre et Marie Curie, Paris, Fr.). *Phys. Status Solidi A* 1975, 32(2), 509-20 (Eng). Single crystals of $M(\text{BrO}_3)_3 \cdot 9\text{H}_2\text{O}$ (M = rare earth) are biaxial and therefore cannot have the hexagonal structure that has been accepted. Studies of the Raman and ir spectra, of specific heat, of pyroelec., and of dielec. const. vs. temp. point to a space group $C\text{cm}^2$ for the low-temp. phase of the crystals and shows that at 66°K an order-disorder transition takes place which is likely due to a change of orientation of the BrO_3^- ions.



$\cdot 9\text{H}_2\text{O}$

(T_{tr})

(+1) \otimes



C.A. 1976, 84 n10

$\text{Nd}(\text{BrO}_3)_3 \cdot 9\text{H}_2\text{O}$

1976

$\text{Gd}(\text{BrO}_3)_3 \cdot 9\text{H}_2\text{O}$

(Cp)

(+)

1986: 36496f Vibration spectra, structure and phase transition in neodymium and gadolinium bromates enneahydrates. Poulet, H.; Mathieu, J. P.; Vergnat, D.; Vergnat, B.; Hadni, A.; Gerbaux, X. (Dep. Rech. Phys., Univ. Pierre et Marie Curie, Paris, Fr.). *Mol. Spectrosc. Dense Phases, Proc. Eur. Congr. Mol. Spectrosc.*, 12th 1975 (Pub. 1976), 291-4 (Eng). Edited by Grosmann, M.; Elkomoss, S. G.; Ringeissen, J. Elsevier: Amsterdam, Neth. The $\text{Nd}(\text{BrO}_3)_3 \cdot 9\text{H}_2\text{O}$ and $\text{Gd}(\text{BrO}_3)_3 \cdot 9\text{H}_2\text{O}$ crystals were studied by Raman, pyroelec., sp. heat, optical, and dielec. methods. The crystals are biaxial and the optical results indicate space group $Cmc2_1$. At <70 K the IR spectra is a line spectrum and the frequencies are close to that of the Raman spectrum. At room temp. the Raman bands are poorly resolved. At >70 K only continuous IR absorption occurs. There is a sp. heat anomaly for the Gd bromate at 66 K with a pyroelec. spike in this region for both bromates. The permittivity of the Nd bromate varies from 4.75 to 5.5 between 25 and 300 K. The phase transition may be a order-disorder transition. The BrO_3^- dipole moment is $\sim 10^{-2}\text{D}$. A change of BrO_3^- orientation keeps the local symmetry as C_{2v} but destroys the translational symmetry.

C.A. 1982, 86, 6

NIDBr

Lomnicka 8812 | 1980

Hölsä "y; et al.

Médecin.
canadien.

Thermochim. acta,
1980, 35, 79-83.

список 10523

1980

NdOB_r

№ 6 Б862. Парофазный гидролиз бромидов лантаноидов. (3+). I. Теплота и свободная энергия реакции $\text{NdBr}_3(\text{тв.}) + \text{H}_2\text{O}(\text{газ.}) \rightleftharpoons \text{NdOBr}(\text{тв.}) + 2\text{HBr}(\text{газ.})$ Weigel F., Wishnevsky V., Guldner R. The vapor phase hydrolysis of lanthanide(III) bromides. I. Heat and free energy of the reaction $\text{NdBr}_3(\text{s}) + \text{H}_2\text{O}(\text{g}) \rightleftharpoons \text{NdOBr}(\text{s}) + 2\text{HBr}(\text{g})$. «J. Less — Common Metals», 1980, 75, № 1, 89—98 (англ.)

В проточно-циркуляц. установке с весами непрерывного взвешивания в т-риом интервале 718—869 К определены константы равновесия $\text{NdBr}_3(\text{тв.}) + \text{H}_2\text{O}(\text{газ.}) \rightleftharpoons \text{NdOBr}(\text{тв.}) + 2\text{HBr}(\text{газ.})$ (1). С использованием для р-ции (1) $\Delta C_p = -14,52 + 1,00 \cdot 10^{-3}T + 1,84 \cdot 10^5/T^2$ рассчитаны ΔG^0_T (кДж/моль) = $93,22 + 3,34 \cdot 10^{-2}T \lg T - 5,00 \cdot 10^{-7}T^2 - 92/T - 0,2351T$, значения ΔG , ΔH и ΔS при 785 К — 15,86, 81,92 кДж/моль и 125 Дж/моль. К, при 298 К соотв. 47,44, 88,32 и 137. Последнее значение хорошо согласуется с рассчитанной по Латимеру величиной 135,03 Дж/моль·К. Станд. теплота образования NdOB_r составила $-954,3 \pm 1,7$ кДж/моль.

А. Б. Кисилевский

д/reakuz.

д/reakuz.

д/Hf; Cp

х. 1081. N6

NdOBr

GIINNICK 10523

1980

$\Delta S \cdot \Delta H^\circ$
785, 785
 (ΔH_f)

94: 21279d The vapor phase hydrolysis of lanthanide(III) bromides. I. Heat and free energy of the reaction $\text{NdBr}_3(s) + \text{H}_2\text{O}(g) \rightleftharpoons \text{NdOBr}(s) + 2\text{Br}(g)$. Weigel, F.; Wishnevsky, V.; Gueldner, R. (Inst. Anorg. Chem., Univ. Muenchen, Munich, Fed. Rep. Ger.). *J. Less-Common Met.* 1980, 75(1), 89-98 (Eng). The equil. const. for the hydrolysis of solid NdBr_3 [13536-80-6] by water vapor was detd. as a function of temp. at 718-869 K. These data, combined with the heat capacity equation $(-14.52 + 1.00 \times 10^{-3} T + 1.84 \times 10^5 T, \text{ J/mol.K})$, yield the following thermodn. consts.: $\Delta H_0 = 93.22$, $\Delta H_{298} = 88.32$, and $\Delta H_{785} = 81.92 \text{ kJ/mol}$; $\Delta S_{298} = 0.137$ and $\Delta S_{785} = 0.125 \text{ kJ/mol.K}$. The heat of formation of NdOBr [15923-98-5] was calcd. as $-954.3 \pm 1.7 \text{ kJ/mol}$.

Per. A. 1981. 94 iv 4

NdOF

1981

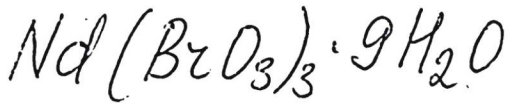
Ревинский В.А. и гр.

пересог. Тюз. горы. 3^й Уралск.
св.ка

комп. Свердловск, 1981,
Свердловск, 1981, 265.



(сер. NdOF; ?)



1990

Misra S. K., Baquet G.,
et al.

T_{tr} ; J. Phys. Condens. Mat-
ter. 1990. 2, N25. c.

5603- 5611.

(cer. Sm $(BrO_3)_3 \cdot 9H_2O$;

NdyBr

Siga M.

1990

Calorim. et. anal. therm. Vol.

20-21. 21 21èmes journées

Assoc. fr. calorim. et anal.

(AFCAT), Clermont-Ferrand, 14-17

mai, 1990 (Clermont-Ferrand), 1990.

c. 87-96. (c.c. *Kaepuvempus*.^T)
otus. Bonrock